

02

Дисперсия поляритонных возбуждений в атомарных криоокристаллах в окрестности частоты квадрупольно разрешенного экситонного резонанса

© В.В. Румянцев

Донецкий физико-технический институт им. А.А. Галкина,
83114 Донецк, Донецкая Народная Республика
e-mail: vladimir.rumyantsev2011@yandex.ru

Поступила в редакцию 09.12.2021 г.

В окончательной редакции 13.07.2022 г.

Принята к публикации 13.07.2022 г.

Рассмотрено распространение экситон-поляритонных возбуждений в атомарных криоокристаллах в окрестности частоты квадрупольно разрешенного экситонного резонанса. Исследована структура локального электромагнитного поля в молекулярном кристалле в окрестности частоты изолированного квадрупольного перехода в спектре молекулы, получен тензор квадрупольной поляризуемости единицы объема кубического кристалла. Изучены особенности дисперсии экситонных поляритонов, отражающие наличие добавочных световых волн в исследуемой окрестности частот.

Ключевые слова: дисперсия экситонных поляритонов, квадрупольный переход в спектре молекулы, добавочные световые волны.

DOI: 10.21883/OS.2022.09.53298.3017-22

Введение

Традиционно изучение оптических свойств кристаллических структур в экситонной области спектра составляет значительный раздел кристаллооптики [1–5]. Эти исследования позволяют глубже понять электронную структуру кристаллов, свойства квазичастиц и особенности взаимодействия между ними. В результате экспериментального изучения распространения электромагнитных волн в молекулярном кристалле вблизи экситонного перехода при низких температурах выявлены несогласующиеся с положениями традиционной кристаллооптики особенности спектра, которые связаны с наличием добавочных световых волн (ДСВ) [3]. Заметим, что наблюдение ДСВ в области экситонных линий спектра осложнено из-за того, что в этом частотном интервале поглощение может оказаться существенным. Прежде всего последнее касается дипольных переходов и в меньшей степени квадрупольных [2]. Однако квадрупольные переходы, которые пропорциональны градиенту электрического поля, менее изучены [6]. Некоторые аспекты и методы теоретических и экспериментальных исследований недипольных переходов рассмотрены в работах [6–12]. Тем не менее изучение тонких эффектов, таких как ДСВ вблизи квадрупольного перехода, по-прежнему актуально.

В обычной теории экситонов время жизни экситона (величина порядка 10^{-12} – 10^{-13} с) определяется конкретной кристаллической структурой, механизмами рассеяния (рассеяние или аннигиляция на примесях, дефектах, колебаниях кристаллической решетки). В то же время в идеальных условиях при очень низких темпе-

ратурах могут существовать слабо затухающие экситоны с большим на 2–3 порядка временем жизни. Такие сравнительно слабо затухающие фотопереходы названы в [4] „истинно сильными“; авторами [4] установлено, что эти переходы связаны с возбуждением (аннигиляцией) экситонов, удовлетворяющих условию

$$\gamma \ll \Delta\omega_{it}, \quad (1)$$

γ — параметр затухания экситона в единицу времени (величина, характеризующая процессы диссипации, ведущие в конечном счете к термализации возбуждений в кристалле), $\Delta\omega_{it}$ — продольно-поперечное расщепление экситонной зоны, характеризующее процессы взаимодействия экситонов и фотонов. В рамках настоящей работы ограничимся рассмотрением экситонных поляритонов, связанных с истинно сильными фотопереходами. Соотношение (1), имеющее место в этом случае, является, согласно [4], одновременно и условием проявления пространственной дисперсии (ПД) в оптических спектрах экситонов.

При изучении оптических явлений в кристаллах, как справедливо отмечает С.И. Пекар [3], явление ПД, т.е. зависимость диэлектрической проницаемости $\hat{\epsilon}$ как от частоты ω , так и от волнового вектора \mathbf{k} электромагнитной волны, и такое его проявление, как ДСВ, следует отличать от „поляритонного эффекта“, подразумевающего сильное взаимодействие структурных единиц (СЕ) кристалла с электромагнитным полем. Поляритонному эффекту уделяется значительное внимание [13], начиная с классических моделей М. Борна (1915 г.) в динамической теории кристаллических решеток, в то время как

существенные проявления ПД света в кристаллах были обнаружены только в 1957 г. [3,14].

Характерным параметром ПД является величина a/λ , a — постоянная кристаллической решетки, λ — длина световой волны, характерное расстояние, на котором изменяется поле. В оптическом диапазоне частот ($a/\lambda \sim 10^{-3}$, т.е. $a/\lambda \ll 1$) ПД можно считать слабой, за исключением особых случаев. Этот факт в известной мере является причиной достаточно позднего обнаружения эффектов ПД. Хотя уже в XIX веке стало ясно [15], что для объяснения естественной оптической активности (слабого эффекта ПД) необходимо учитывать зависимость $\hat{\epsilon}$ от ω и \mathbf{k} . Термин „пространственная дисперсия“, констатирующий зависимость $\hat{\epsilon}(\mathbf{k})$, был введен М.Е. Герценштейном [16] в 1952 г.

В атомарных кристаллах ПД обуславливает анизотропию, в широком диапазоне оптической прозрачности ее величина мала (эффект порядка k^2). Причем учитывают [17] ПД в рамках феноменологического подхода (который состоит в решении уравнений Максвелла в среде с известной диэлектрической функцией $\hat{\epsilon}(\omega, \mathbf{k})$), разлагая $\hat{\epsilon}$ либо $\hat{\epsilon}^{-1}$ в ряд по \mathbf{k} . Коэффициенты разложения, зависящие от ω , являются параметрами теории, их (как и закон дисперсии элементарных возбуждений) находят из эксперимента или из микроскопической теории. Однако в узких спектральных интервалах вблизи частот экситонных резонансов использование такой методики ограничено, поскольку зависимость функций отклика кристалла от ω и \mathbf{k} распространяющейся в среде электромагнитной волны не является гладкой (и в результате возрастает роль ПД). Как показали квантово-механические расчеты [18], тензор $\hat{\epsilon}^{-1}$ не всегда разложим в ряд по \mathbf{k} . Например, в случае кубического кристалла (симметрия O_h), для которого возможны десять типов экситонных зон (соответственно числу неприводимых представлений группы точечной симметрии), $\hat{\epsilon}^{-1}$ оказался разложимым по степеням \mathbf{k} лишь в одном случае — тип F'_1 [2].

В настоящей работе в рамках развиваемого микроскопического подхода [19] исследована ПД света в атомарном кристалле в модели запаздывающей передачи энергии возбуждения между отдельными его атомами, рассмотрены ДСВ в окрестности экситонного квадрупольно разрешенного перехода. Оказалось возможным ответить на вопрос, как сказывается на законах дисперсии элементарных возбуждений дискретность структуры кристалла.

1. Дисперсия экситонных поляритонов в атомарных кристаллах

Рассмотрим распространение света в идеальном атомарном кристалле — совокупности слабо взаимодействующих атомов, электронные оболочки которых не перекрываются. На каждый атом действует внутрикристаллическое нестационарное электромагнитное поле,

отождествляемое с полем, излучаемым всеми остальными атомами кристалла. При таком подходе ПД учитывается разложением в ряд по волновому вектору \mathbf{k} внутрикристаллического поля (а не тензора диэлектрической проницаемости $\hat{\epsilon}$ или $\hat{\epsilon}^{-1}$). Подобная модель и методика расчета внутрикристаллического поля являются продолжением исследований, начало которым положили Г. Лоренц (1879 г.), П. Эвальд (1912–1921 гг.), М. Борн и М. Гепперт-Мейер, Хуан Кунь (1915–1956 гг.), К.Б. Толпыго (1950, 1956, 1986 гг.). Распространение электромагнитной волны в такой системе интерпретируется как передача возбуждения от одного атома к другому (с учетом запаздывания взаимодействия между ними), приводящая к образованию экситонного поляритона. Реализуется полуклассический подход, в рамках которого нестационарное состояние $\Psi_{s'}^{l'}(\mathbf{r}, t)$ отдельного $\binom{l'}{s'}$ -го атома с соответствующей плотностью заряда и тока (см. соотношения (1.1.28) и (1.1.29) в [5]) описывается квантово-механически, исходя из теории возмущений, зависящих от времени. В то же время поле, действующее на $\binom{l'}{s'}$ -й атом и возмущающее его волновую функцию $\Psi_{s'}^{l'}(\mathbf{r}, t)$, описываем классически — уравнениями Максвелла. Фурье-компоненты средних дипольного и квадрупольного моментов атома определяем по формулам:

$$\mathbf{P}_s^{\omega, \mathbf{k}} = \hat{\alpha}^s(\omega) \mathbf{E}_s^{\omega, \mathbf{k}}, \quad \hat{\alpha}^s = \sum_i \frac{2(E_{si} - E_{s0}) \langle 0 | \mathbf{P}_s | i \rangle \langle i | \mathbf{P}_s | 0 \rangle}{(E_{si} - E_{s0})^2 - (\hbar\omega)^2},$$

$$\hat{Q}_s^{\omega, \mathbf{k}} = \hat{B}^0(\omega) (\nabla \mathbf{E})_s^{\omega, \mathbf{k}},$$

$$\hat{B}_s^0 = \sum_i \frac{2(E_{si} - E_{s0}) \langle 0 | \hat{Q}_s | i \rangle \langle i | \hat{Q}_s | 0 \rangle}{(E_{si} - E_{s0})^2 - (\hbar\omega)^2}, \quad (2)$$

где $\hat{\alpha}^s$, \hat{B}_s^0 — соответственно дипольная и квадрупольная поляризуемости атома, \mathbf{P}_s , \hat{Q}_s — амплитуды соответственно дипольного и квадрупольного моментов, $(E_{si} - E_{s0})$ — энергия соответствующего (дипольного или квадрупольного) возбуждения. Считается, что изменяется лишь состояние электронов при неизменном положении ядер атомов, поскольку в рассматриваемом диапазоне частот движением ядер можно пренебречь.

Еще Г.А. Лоренц [20], создавая теорию линейного взаимодействия света с веществом, установил, что оптические явления связаны с движением относительно свободных зарядов и реагирующих на поле световой волны диполей. Отправной точкой теории оптических свойств диэлектриков и сегодня служит идея взаимодействия электромагнитного поля со связанными в нейтральных молекулах зарядами.

Исследуем структуру действующего в молекулярном кристалле поля в окрестности частоты изолированного квадрупольно разрешенного перехода в спектре молекулы. В этом случае дипольные моменты выражаются через квадрупольные и градиенты действующего поля $\nabla_i E_j \equiv E_{ij}$:

$$E_{ij} = E_{ij}^{\text{macro}} + G_{ijk}^{\text{self}}(\omega, \mathbf{k}) Q_{kl} + G_{ijk}^{\text{str}}(\mathbf{k}) Q_{kl}, \quad (3)$$

где E_{ij}^{macro} — градиенты макроскопического поля, представляющего собой решение уравнений Максвелла с токами, обусловленными как дипольной, так и квадрупольной поляризациями. Слагаемое $G_{ijkl}^{\text{self}}(\omega, \mathbf{k})Q_{kl}k^2Q_{ij}$ связано с устранением самодействия в континуальном пределе, $G_{ijkl}^{\text{str}}(\mathbf{k})Q_{kl}$ описывает структурные эффекты, его происхождение связано с выходом за рамки континуального приближения. В длинноволновом приближении для кристаллов с центром инверсии G_{ijkl}^{str} можно представить согласно [21,22] в виде

$$G_{ijkl}^{\text{str}}(\mathbf{k}) = \frac{4\pi}{a^2} T(0)Z_{ijkl} + 4\pi T_{ijklmn}k_mk_n + \dots \quad (4)$$

Здесь $4\pi a^{-2}T(0)Z_{ijkl}$, $4\pi T_{ijklmn}$ — коэффициенты разложения $G_{ijkl}^{\text{str}}(\mathbf{k})$ по малым k . Считая в (3) все слагаемые, кроме $4\pi a^{-2}T(0)Z_{ijkl}Q_{kl}$, возмущающим электромагнитным полем E_{ij}^{per} , получим основное уравнение метода действующего поля для нахождения квадрупольной поляризации:

$$Q_{ij} = B_{ijkl}^0 [E_{kl}^{\text{per}} + 4\pi a^{-2}T(0)Z_{klmn}Q_{mn}]. \quad (5)$$

Форма тензора IV ранга Z_{klmn} установлена в [5] исходя из требований, предъявляемых к нему оператором \hat{V} квадруполь-квадрупольного взаимодействия. В конкретном случае кубического кристалла этот тензор должен быть, во-первых, с нулевым следом и симметричным по любой паре индексов, поскольку при квадруполь-квадрупольном взаимодействии $\hat{V} \sim Q_{ij}^{(1)}Q_{kl}^{(2)}\nabla_i\nabla_j\nabla_k\nabla_l(|\mathbf{r}_{12}|)^{-1}$ [23] ($|\mathbf{r}_{12}|$ — расстояние между атомами 1 и 2), во-вторых, инвариантным относительно преобразований группы O_h .

Предположим, что кубический кристалл образован из атомов, нижайшее возбужденное состояние которых пятикратно вырожденный d -уровень, а основное s -состояние сферически симметрично. С позиции экситонной теории пятикратно вырожденный терм расщепляется на экситонные зоны благодаря резонансному взаимодействию атомов кристалла: диполь-квадрупольному и квадруполь-квадрупольному. Как показал теоретико-групповой анализ [2], одна из зон в центре зоны Бриллюэна ($k=0$) вырождена двукратно, а вторая — трехкратно. В первом случае волновая функция преобразуется по представлению E кубической группы, а во втором — F_2 . Данное расщепление, согласно [24], называется бетевским, оно отражает особенность изолированного квадрупольного перехода в кристаллах. Параметры квадрупольной поляризуемости при $k=0$ и бетевского расщепления будут найдены ниже методом действующего поля.

Тензор квадрупольной поляризуемости \hat{B}^0 изолированного атома в монохроматическом электромагнитном поле частоты ω определяется формулой (2). Учитывая, что матричный элемент $\langle 0|\hat{Q}_{ij}|f\rangle$ — симметричный тензор II ранга с нулевым следом, сконструируем тензор поляризуемости \hat{B}^0 из скаляра B^0 и символов Кронекера δ_{ij} :

$$B_{ijkl}^0 = B^0(\omega)I_{ijkl}, \quad (6)$$

причем B^0 в окрестности частоты ω_1 нижайшего изолированного квадрупольного перехода принимает вид

$$B^0(\omega) = B_\infty^0 + (B_0^0 - B_\infty^0) \left(1 - \frac{\omega^2}{\omega_1^2}\right)^{-1}, \quad (7)$$

а

$$I_{ijkl} = \frac{1}{2} \left(\delta_{ik}\delta_{jl} + \delta_{il}\delta_{jk} - \frac{2}{3}\delta_{ij}\delta_{kl} \right) \quad (8)$$

— бесследный, симметричный по первой и второй паре индексов, единичный ($\hat{I}^2 = \hat{I}$) тензор с нулевым следом.

Прямой расчет (см., например, равенства (1.3.23)–(1.3.26) в [5]) показывает, что имеют место следующие соотношения:

$$I_E^{ijkl} \equiv \gamma_{21}^{ij}\gamma_{21}^{ij} + \gamma_{22}^{ij}\gamma_{22}^{ij} = \frac{2}{3}I^{ijkl} + Z^{ijkl},$$

$$I_{F_2}^{ijkl} \equiv \varepsilon_x^{ij}\varepsilon_x^{ij} + \varepsilon_y^{ij}\varepsilon_y^{ij} + \varepsilon_z^{ij}\varepsilon_z^{ij} = \frac{3}{5}I^{ijkl} - Z^{ijkl}. \quad (9)$$

Тензоры \hat{I}_E и \hat{I}_{F_2} обладают проективными свойствами:

$$\hat{I}_E^2 = \hat{I}_E, \quad \hat{I}_{F_2}^2 = \hat{I}_{F_2}, \quad \hat{I}_E \cdot \hat{I}_{F_2} = 0. \quad (10)$$

Если тензор IV ранга \hat{I} представляет единицу в пространстве симметричных тензоров II ранга с нулевым следом, образующих базис неприводимого представления группы вращений, то тензоры \hat{I}_E , \hat{I}_{F_2} проектируют в указанном выше пространстве базисы неприводимых представлений соответственно E и F_2 кубической группы и являются в этих подпространствах единичными тензорами.

Поскольку процедура обращения тензора IV ранга $\tilde{I} - \frac{4\pi}{a^2}B^0T(0)\tilde{Z}$ существенно опирается на соотношения (10), то они являются исходными для нахождения квадрупольной поляризуемости кубических кристаллов в точке $k=0$. Таким образом, перенормированный тензор квадрупольной поляризуемости единицы объема кристалла равен

$$\hat{B} - B_E\hat{I}_E + B_{F_2}\hat{I}_{F_2}, \quad (11)$$

где

$$B_E = B^0 \left[1 - \frac{4\pi}{5} \frac{3T(0)B^0}{a^2} \right]^{-1},$$

$$B_{F_2} = B^0 \left[1 + \frac{4\pi}{5} \frac{2T(0)B^0}{a^2} \right]. \quad (12)$$

Выразим параметры квадрупольной поляризуемости кристалла $B_E(0)$, $B_E(\infty)$, B_{F_2} , $B_{F_2}(\infty)$ и перенормированные резонансные частоты $\omega_{1,E}$, ω_{1,F_2} через соответствующие параметры изолированного атома B_0^0 , B_∞^0 , ω_1 :

$$B_E(0, \infty) = B_{0,\infty}^0 \left[1 - \frac{4\pi}{5} \frac{3T(0)}{a^2} B_{0,\infty}^0 \right]^{-1},$$

$$B_{F_2}(0, \infty) = B_{0,\infty}^0 \left[1 + \frac{4\pi}{5} \frac{2T(0)}{a^2} B_{0,\infty}^0 \right]^{-1}, \quad (13)$$

$$\begin{aligned} \omega_{1,E}^2 &= \omega_1^2 \left\{ 1 - \frac{4\pi}{5} \frac{3T(0)}{a^2} (B_0^0 - B_\infty^0) \right. \\ &\quad \left. \times \left[1 - \frac{4\pi}{5} \frac{3T(0)}{a^2} B_\infty^0 \right]^{-1} \right\}, \\ \omega_{1,F_2}^2 &= \omega_1^2 \left\{ 1 + \frac{4\pi}{5} \frac{2T(0)}{a^2} (B_0^0 - B_\infty^0) \right. \\ &\quad \left. \times \left[1 + \frac{4\pi}{5} \frac{2T(0)}{a^2} B_\infty^0 \right]^{-1} \right\}. \end{aligned} \quad (14)$$

Из формул (13), (14) следует отношение сдвигов частот в точке $k = 0$:

$$(\Delta\omega_{1,E}/\Delta\omega_{F_2}) \approx 3/2,$$

т. е. справедливо соотношение

$$\mu_E \Delta\omega_{1,E} = \mu_{F_2} \Delta\omega_{1,F_2}, \quad (15)$$

где $\mu_{E(F_2)}$ — кратность вырождения уровня.

Итак, из градиента действующего поля в молекулярном кристалле выделен [5] вклад, обусловленный структурными эффектами. Основная часть этого слагаемого не зависит от волнового вектора \mathbf{k} и приводит [5] к перенормировке тензора квадрупольной поляризуемости единицы объема среды. Оставшаяся часть градиента действующего поля корректно находится в рамках континуального приближения (здесь представляется возможным использование метода интегральных уравнений, ведущего к теореме погашения) или с помощью метода Эвальда [25].

Из формы перенормированного тензора квадрупольной поляризуемости видно, что возникает динамическое бетевское расщепление $\Delta\omega_{E,F_2}$ квадрупольного терма изолированного атома. Величина расщепления определяется параметрами $T(0)$, B_0^0 , B_∞^0 , ω_1 и может быть оценена следующим образом. Поскольку $(B_0^0 - B_\infty^0) \sim (\hbar\omega_1)^{-1} a^{-3} (\langle 0|\hat{Q}|1\rangle)^2$, для кристаллов с ГЦК решеткой $4\pi T(0) \sim 0.1$, $\langle 0|\hat{Q}|1\rangle \sim ea_B^2$ (где a_B — борковский радиус), то $\Delta\omega_{E,F_2} \sim 0.1(a_B/a)^2 \omega_1$. Наблюдение этого слабого эффекта в атомарных кристаллах возможно, так как они состоят из нейтральных структурных единиц, следовательно, статическое бетевское расщепление (которое могло бы маскировать упомянутый эффект) в данном случае отсутствует.

2. ДСВ в окрестности квадрупольного перехода

Обычно при изучении эффектов локального поля доминирующая роль отведена дипольным переходам атома из основного состояния в возбужденное, мультипольные переходы полагают малыми поправками, дающими вклад в ПД. Ситуация меняется, если частота световой волны близка к частоте квадрупольно разрешенного перехода. В этом случае (в отличие от дипольных переходов)

может оказаться слабым поглощение и, следовательно, возможно наблюдение ДСВ или связанных с ними конечных эффектов (например, осцилляций интенсивности прошедшей сквозь пленку или клин волны [26]).

Применяя метод действующего поля и используя преобразование Эвальда, рассмотрим подробнее распространение электромагнитной волны вблизи частоты ω нижайшего изолированного квадрупольно разрешенного перехода в спектре атома кристалла. Получим законы дисперсии, свидетельствующие о существовании „квадрупольных“ экситонных поляритонов (в то время как вклад в $\hat{\epsilon}$ дают и дипольные переходы). Если в широкой области частот квадрупольная поляризация атомов кристалла приводит лишь к небольшим поправкам к закону дисперсии, связанному с дипольной поляризацией, то в окрестности характеристических частот квадрупольной поляризуемости (несколько сдвинутых за счет внутрискристаллического поля) каждому значению ω в общем случае соответствуют несколько значений показателя преломления n и возможны ДСВ.

Для удобства введем безразмерную переменную $q_{s\alpha\beta} \equiv Q_{s\alpha\beta}/a$. Учтем, что в случае ГЦК решетки имеются три типа квадрупольной поляризуемости: B_{1111}^0 , B_{1122}^0 , B_{1212}^0 и, кроме того, из равенства $\sum_\alpha Q_{s\alpha\alpha} = 0$ следует соотношение $B_{1122}^0 = -B_{1111}^0/2$, а для сферически симметричных молекул $B_{1212}^0 = \frac{3}{4}B_{1111}^0$. Положив $B_{1111}^0 \equiv \frac{2}{3}a^5 B^0$, получаем возможность характеризовать квадрупольную поляризуемость молекул, форма которых мало отличается от сферической, одной безразмерной величиной B^0 (общий случай связи величин B^0 и B^0 рассмотрен в [5]). Из соотношения (1.2.12) в [5] следует система уравнений относительно амплитуд дипольного $\mathbf{P}^{\omega\mathbf{k}}$ и квадрупольного $\hat{q}^{\omega,\mathbf{k}}$ моментов:

$$P_\alpha/A(\omega) = \phi_{\alpha\beta}(\omega, \mathbf{k})P_\beta - \eta_{\alpha\beta,\gamma}(\omega, \mathbf{k})q_{\beta\gamma},$$

$$q_{\alpha\beta}/B^0(\omega) = \eta_{\alpha\gamma,\beta}(\omega, \mathbf{k})P_\gamma - \xi_{\beta,\alpha\gamma,\delta}(\omega, \mathbf{k})a_{\gamma\delta}. \quad (16)$$

Здесь (и ниже) по повторяющимся индексам осуществляется суммирование и опущен верхний индекс (ω, \mathbf{k}) . Ясно, что матрица $\hat{C} = A^{-1}(\omega)\hat{I} - \hat{\phi}$ имеет детерминант, отличный от нуля, поскольку исследуемая область частот значительно отличается от дипольно разрешенных переходов. Последнее обстоятельство позволяет найти обратную матрицу \hat{C}^{-1} и затем при совместном решении уравнений (16) исключить $\mathbf{P}^{\omega\mathbf{k}}$. В результате получаем систему уравнений

$$\{[\hat{B}^0(\omega)]^{-1} + \hat{G}(\omega, \mathbf{k})\}\hat{q}^{\omega,\mathbf{k}} = 0. \quad (17)$$

Элементы тензора внутреннего поля $\hat{G}(\omega, \mathbf{k})$ имеют вид

$$G_{\alpha\beta\gamma,\delta} = \xi_{\alpha,\beta\gamma,\delta} + \eta_{\alpha,\beta\mu}\hat{C}^{-1})^{\mu\nu}\eta_{\nu\gamma,\delta} \equiv G(0)Z_{\alpha\beta\gamma\delta} + G_{\alpha,\beta\gamma,\delta}^{(1)}. \quad (18)$$

Заметим, что поскольку $\sum_\alpha q_{\alpha\alpha} = 0$, то $\sum_\alpha \eta_{\alpha\alpha,\delta} = 0$, $\sum_\alpha \xi_{\alpha\alpha\beta} = 0$. Отсюда следует, что среди уравнений системы (17) линейно независимых пять, соответственно

числу независимых переменных — компонент квадрупольного момента: $q_{11}, q_{22}, q_{12}, q_{13}, q_{23}$. Тензор \hat{Z} определяется равенством (1.3.19) в [5], а тензор внутреннего поля $\hat{G}(\omega, \mathbf{k})$ приводится в работе [20], в которой матрицы $\hat{\phi}, \hat{\eta}, \hat{\xi}, \hat{C}^{-1}$ раскладываются по степеням k до членов не выше k^2 (см. также приложение П-1 в [5]). Непосредственные вычисления показывают, что члены $G_{\alpha\beta\gamma\delta}(\omega, \mathbf{k})$ имеют полюс только в точке $k^2 = \varepsilon_\infty k_0^2$. Кроме того, поскольку $\hat{\eta}$ имеет порядок не ниже k , то $G(0)$ определяется членом $\hat{\xi}(0)$, а матрицу \hat{C}^{-1} достаточно найти в нулевом порядке по k .

Из условия разрешимости системы линейных однородных уравнений (17) следует дисперсионное соотношение общего вида

$$\det[[B^0]^{-1}(\omega)\delta_{\alpha\delta}\delta_{\beta\gamma} + G(0)Z_{\alpha\beta\gamma\delta} + G_{\alpha,\beta\gamma,\delta}^{(1)}(\omega, \mathbf{k})] = 0. \quad (19)$$

В приближении не выше k^2 детерминант приобретает блочную структуру (блок 2×2 для $q_{11} \neq 0, q_{22} \neq 0$ и одномерные блоки для $q_{12} \neq 0, q_{13} \neq 0, q_{23} \neq 0$) и приводит к пяти дисперсионным уравнениям [21]. Для симметричных направлений \mathbf{k} (Δ, Σ, Λ) определитель системы (17) также имеет блочную структуру и расщепляется на пять уравнений типа

$$B_{E(F_2)}^{-1}(\Omega) + c_1\Omega^2 - c_2x^2 - \frac{c_3\Omega^4}{\Omega^2 - x^2} = 0 \quad (20)$$

соответственно числу нормальных координат — комбинаций компонент тензора квадрупольного момента. Здесь $\Omega = \omega/\omega_{1,E(F_2)}, x^2 = c^2k^2/\varepsilon_\infty\omega_{1,E(F_2)}$, численные значения структурных коэффициентов c ($i = 1, 2, 3$) всех уравнений (20) для каждого из симметричных направлений в кристалле с простой ГЦК решеткой приведены в [5]. Если пренебречь ПД, то уравнение (20) относительно $n^2 \equiv x^2\varepsilon_\infty/\Omega^2$ имеет решение

$$n^2 = \varepsilon_\infty \left[1 + \frac{|c_3|\tilde{B}_{E(F_2)}(\Omega)}{1 + c_1\tilde{B}_{E(F_2)}(\Omega)} \right], \quad (21)$$

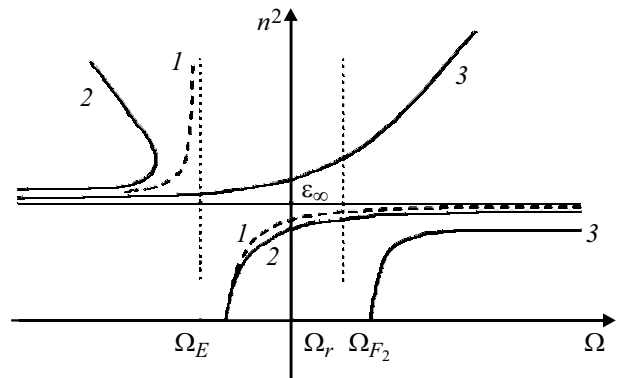
где $\tilde{B}_{E(F_2)}(\Omega) \equiv a^{-2}\Omega^2 B_{E(F_2)}(\Omega)$.

Отметим интересные особенности функции $\hat{B}^0 \equiv \Omega^2 \tilde{B}^0$. Поскольку $\hat{B}^0(\Omega) = a^5 B^0(\Omega) \hat{I}$, то

$$\hat{B}^0(\Omega) = \frac{2}{\hbar} \sum_i \left(\frac{\Omega_{i0}^2}{\Omega_{i0}^2 - \Omega^2} - 1 \right) \Omega_{i0} \langle 0 | \hat{Q} | i \rangle \langle i | \hat{Q} | 0 \rangle, \quad (22)$$

где $Q_{\alpha\beta} = \sum_n e_n [r_\alpha^{(n)} r_\beta^{(n)} - \frac{1}{3} r_n^2 \delta_{\alpha\beta}]$ — матричные элементы квадрупольного момента атома, а $\Omega_{i0} \equiv \hbar^{-1}(E_i - E_0)$. Причем в пределе $\Omega \rightarrow \infty$ тензор \hat{B}^0 принимает вид

$$\hat{B}^0(\infty) = -\frac{4}{3} \frac{e^2}{m} \langle \sum_i r_i^2 \rangle \hat{I} \quad (23)$$



Дисперсионные кривые $n^2 = n^2(\Omega)$, отражающие наличие ДСВ в окрестности резонансной частоты Ω_r , близкой к частоте квадрупольно разрешенного перехода в спектре атома кристалла.

(e, m — соответственно заряд и масса электрона), поскольку

$$\begin{aligned} & 2\text{Re} \sum_i (E_i - E_0) \langle 0 | Q_{\alpha\beta} | i \rangle \langle i | Q_{\gamma\delta} | 0 \rangle \\ &= -\langle [Q_{\alpha\beta} [Q_{\gamma\delta}, H]] \rangle = \frac{\hbar}{m} \left\{ \langle Q_{\alpha\gamma} \rangle \delta_{\beta\delta} + \langle Q_{\beta\gamma} \rangle \delta_{\alpha\delta} + \langle Q_{\alpha\delta} \rangle \delta_{\beta\gamma} \right. \\ &+ \langle Q_{\beta\delta} \rangle \delta_{\alpha\gamma} - \frac{4}{3} (\langle Q_{\gamma\delta} \rangle \delta_{\alpha\beta} + \langle Q_{\alpha\beta} \rangle \delta_{\gamma\delta}) \\ &+ \left. \frac{2}{3} e^2 \langle \sum_i r_i^2 \rangle (\delta_{\alpha\gamma} \delta_{\beta\delta} + \delta_{\alpha\delta} \delta_{\beta\gamma} - \frac{2}{3} \delta_{\alpha\beta} \delta_{\gamma\delta}) \right\} \end{aligned}$$

(с учетом того, что в нашем случае средний квадрупольный момент $\langle Q_{\alpha\beta} \rangle = 0$). В монографии [27] (табл. 31.1) приводятся значения молярной диамагнитной восприимчивости атомарных кристаллов. Таким образом, по величине атомарной восприимчивости Ланжевена $X = -\frac{e^2}{6mc^2} \langle \sum_i r_i^2 \rangle$ (сравнить с формулой (23)) можно установить $\tilde{B}^0(\infty)$ для этих кристаллов.

Очевидно, что для некоторой дисперсионной частоты Ω_r $\tilde{B}_{E(F_2)}(\Omega_r) = -c_1^{-1}$, т.е. при $\Omega \rightarrow \Omega_r(c_1)$ $n^2 \rightarrow \infty$. В окрестности Ω_r уравнение (20) относительно n^2 имеет решение

$$\begin{aligned} n^2 &= \frac{\varepsilon_\infty}{2} \left[b_1 \frac{\Omega - \Omega_r}{\Omega_r} + 1 \pm \sqrt{\left(b_1 \frac{\Omega - \Omega_r}{\Omega_r} - 1 \right)^2 - b_2} \right], \quad (24) \\ b_1 &= c_0/c_2, \quad b_2 = 4|c_3|/c_2, \\ c_0 &= -|d\tilde{B}^{-1}(\Omega)/d \ln \Omega|_{\Omega_r(c_1)}. \end{aligned}$$

На рисунке представлено схематическое изображение дисперсионных кривых $n^2 = n^2(\Omega)$, отражающих наличие ДСВ в рассматриваемых кристаллах в окрестности Ω_r . Кривая 1 рисунка соответствует решению (21) — случай отсутствия ПД, $c_2 = 0$. Кривая 3 отвечает случаю $c_2 > 0$, в окрестности дисперсионной

частоты Ω_{r,F_2} возможны ДСВ с волновым вектором \mathbf{k} , направленным вдоль $\Delta\Sigma$. Кривая 2 — случай $c_2 < 0$, в окрестности дисперсионной частоты $\Omega_{r,E}$ возможны ДСВ с \mathbf{k} вдоль Σ, Δ , а в окрестности Ω_{r,F_2} — ДСВ с волновым вектором \mathbf{k} вдоль Λ .

Решение (24) по форме сходно с аналогичной формулой в [3], где рассматриваются ДСВ в кристалле в окрестности некоторого дипольного перехода. Различие состоит, во-первых, в существовании нескольких дисперсионных частот Ω_r , зависящих от направления волнового вектора, что составляет специфику квадрупольных переходов. Во-вторых, параметры b_1, b_2 в дисперсионном уравнении (24) зависят как от s , так и от симметрии колебаний квадрупольных моментов атомов кристалла. Как и в [28], параметр b_1 не зависит от номера возбуждения, а определен всеми возбужденными состояниями, формирующими $\tilde{V}(\Omega \rightarrow \Omega_r)$, в отличие от [3], где аналогичный параметр обусловлен парциальным вкладом f -го механического экситона в поляризацию кристалла.

Заключение

Полученные результаты согласуются с известным экспериментальным фактом оптической анизотропии кубических кристаллов в области квадрупольной линии F_2 (что впервые наблюдали авторы [29] в Cu_2O). В рамках теории [3] в работах [30–32] рассмотрена дисперсия экситонных поляритонов вблизи этой линии, в [31,32] сформулированы соответствующие граничные условия. Качественно представленные выводы совпадают с полученными в [30–32]. Кроме того, законы дисперсии (21) и (24) описывают распространение света в окрестности квадрупольной линии E и, в частности, указывают на возможность существования ДСВ вблизи этой линии.

Характер анизотропии в рассмотренных нами случаях соответствует общим выводам [4]. Однако в отличие от [4] данные результаты (законы дисперсии экситонных поляритонов в атомарных кристаллах в окрестностях частот экситонных квадрупольно разрешенных переходов) получены в рамках микроскопической теории распространения света в кристалле (ее особенности изложены в работах [19,21,22,33]). Данный метод получил дальнейшее развитие в работах по оптической анизотропии алмазоподобных полупроводников [33] и распространению электромагнитных возбуждений в окрестности частоты экситонного резонанса [34,35].

В заключение отметим, что структуры (подобные исследуемой в настоящей работе), в которых реализуется сильная связь квантовых возмущений (экситонов) среды и оптического поля, называют [36] поляритонными. Необходимость исследования распространения электромагнитных возбуждений в поляритонных кристаллах (в частности, в пористых структурах [37–39]) порождает сегодня новую область науки — поляритонику [40] как самостоятельный раздел фотоники.

Финансирование работы

Работа выполнена в рамках бюджетного финансирования Донецкого физико-технического института им. А.А. Галкина, проект „Формирование структуры и свойств перспективных многофункциональных материалов“.

Конфликт интересов

Автор заявляет, что у него нет конфликта интересов.

Список литературы

- [1] Е.Ф. Гросс, Н.А. Каррыев. ДАН СССР, **84**, 261 (1952).
- [2] В.М. Агранович, В.Л. Гинзбург. *Кристаллооптика с учетом пространственной дисперсии и теория экситонов* (Наука, М. 1979).
- [3] С.И. Пекар. *Кристаллооптика и добавочные световые волны* (Наукова думка, Киев, 1982).
- [4] М.С. Бродин, Э.Н. Мясников, С.В. Марисова. *Поляритоны в кристаллооптике* (Наукова думка, Киев, 1984).
- [5] В.В. Румянцев. *Взаимодействие электромагнитного излучения и легких частиц с несовершенными кристаллическими средами* (Норд-Пресс, Донецк, 2006).
- [6] Fam Le Kien, Tridib Ray, Thomas Nieddu, Thomas Busch, Sile Nic Chormaic. *Phys. Rev. A*, **97**, 013821 (2018).
- [7] P.K. Mondal, B. Deb, S. Majumder. *Phys. Rev. A*, **89**, 063418 (2014).
- [8] E.A. Chan, S.A. Aljunid, N.I. Zheludev, D. Wilkowski, M. Ducloy. *Optics Lett.*, **41** (9), 2005–2008 (2016).
- [9] Matthias Germann, Xin Tong & Stefan Willitsch. *Nature Physics*, **10**, 820–824 (2014).
- [10] D. Tong, S.M. Farooqi, E.G.M. van Kempen, Z. Pavlovic, J. Stanojevic, R. Côté, E.E. Eyler, P.L. Gould. *Phys. Rev. A*, **79**, 052509 (2009).
- [11] Smail Bougouffa. *Results in Physics*, **27**, 104541 (2021).
- [12] Eng Aik Chan, Syed Abdullah Aljunid, Giorgio Adamo, Nikolay I. Zheludev, Martial Ducloy, David Wilkowski. *Phys. Rev. A*, **99**, 063801 (2019).
- [13] *Polaritons: Proc. First Tacrimina res. conf. structure of matter*, ed. by E. Burstein, F. de Martini (Pergamon press, N.Y. 1974).
- [14] С.И. Пекар. *ЖЭТФ*, **33**, 1022 (1957).
- [15] А.А. Рухадзе, В.П. Силин. *УФН*, **74**, 223 (1961).
- [16] М.Е. Герценштейн. *ЖЭТФ*, **22**, 303 (1952).
- [17] В.Л. Гинзбург. *ЖЭТФ*, **34**, 1593 (1958).
- [18] С.И. Пекар. *ФТТ*, **4**, 1301 (1962).
- [19] В.В. Румянцев. *Кристаллография*, **36**, 346 (1991).
- [20] Г.А. Лорентц. *Теория электронов* (Гостехиздат, М, 1956).
- [21] В.В. Румянцев, К.Б. Толпыго. *УФЖ*, **30**, 699 (1985).
- [22] В.В. Румянцев, В.Т. Шуляков. *УФЖ*, **31**, 1497 (1986).
- [23] Ю.К. Хохлов. *Труды ФИ АН СССР*, **59**, 223 (1972).
- [24] В.М. Агранович. *Теория экситонов* (Наука, М., 1968).
- [25] P.P. Ewald. *Ann. Phys.*, **64** (4), 253–287 (1921).
- [26] А.А. Демиденко, М.В. Лебедев, С.И. Пекар. *ЖЭТФ*, **89**, 330 (1985).
- [27] N.W. Ashcroft, N.D. Mermin. *Solid State Physics* (Holt, Rinehart and Winston, New York, 1976) .
- [28] К.Б. Толпыго. *УФЖ*, **31**, 178 (1986).
- [29] Е.Ф. Гросс, А.А. Каплянский. ДАН СССР, **132** (1), 98 (1960).

- [30] В.Н. Писковой. ФТТ, **22**, 555 (1980).
- [31] С.И. Пекар, В.Н. Писковой, Б.Е. Цеквава. ФТТ, **23**, 1905 (1981).
- [32] А.А. Демиденко, В.И. Пипа, В.Н. Писковой, Б.Е. Цеквава. ФТТ, **30**, 2397 (1988).
- [33] В.В. Румянцев. УФЖ, **35**, 1783 (1990).
- [34] А.Е. Рыбалка, В.В. Румянцев, С.А. Федоров. Мониторинг. Наука и технологии, **44** (2), 79–86 (2020).
- [35] А.Е. Рыбалка, В.В. Румянцев, С.А. Федоров, К.В. Гуменник. Опт. и спектр., **129** (7), 871–875 (2021).
- [36] E.S. Sedov, A.P. Alodjants, S.M. Arakelian, Y-L. Chuang, Y.Y. Lin, W.-X. Yang, R.-K. Lee. Phys. Rev. A, **89**, 033828 (2014).
- [37] V.V. Romyantsev, S.A. Fedorov, K.V. Gumennyk, M.V. Sychanova, A.V. Kavokin. Nature. Scientific Reports, **4**, 6945 (2014).
- [38] V.V. Romyantsev, S.A. Fedorov, K.V. Gumennyk, Yu.A. Paladyan. Physica B: Condensed Matter, **571** (15), 296 (2019).
- [39] В.В. Румянцев, С.А. Федоров, К.В. Гуменник, Ю.А. Паладян. ЖТФ, **90**, 850 (2020)
- [40] V.V. Romyantsev, S.A. Fedorov, A.V. Kavokin. *Conference Proceedings. 7th Int. Conf. „Modern Nanotechnologies and Nanophotonics for Science and Industry“* (Suzdal, 2018), p. 88–89.